

сообщения
объединенного
института
ядерных
исследований
дубна

P2-89-4

Г.Г.Бунатян

МОДЕЛЬ КИРАЛЬНОГО МЕШКА СВМ
В ЯДЕРНОМ ВЕЩЕСТВЕ
ПРИ КОНЕЧНОЙ ТЕМПЕРАТУРЕ

1989

1. ВВЕДЕНИЕ

Основные свойства нуклона удается успешно описать в модели кирального мешка СВМ^{/1/}, в которой существенную роль играет взаимодействие кварков, запертых в мешке, с пионным полем на поверхности мешка. СВМ является внутренне согласованной: условия запираания кварков в мешке и устойчивости мешка получаются непосредственно из исходного лагранжиана модели, их не надо вводить дополнительно. Так же вычисляются и основные величины, характеризующие нуклон: размеры, масса, магнитный момент и т.п. Исходный лагранжиан СВМ содержит все, что необходимо для описания мешка-нуклона. СВМ можно обобщить для исследования нуклона в ядерном веществе^{/2/}. Влияние среды на мешок-нуклон сказывается в СВМ на изменении уравнений пионного поля в ядерной среде с определенной плотностью ρ и температурой T по сравнению с уравнениями в пустоте, $\rho = 0$, $T = 0$. Эти изменения естественным образом включаются в СВМ^{/2,3/}. Применение СВМ позволяет исследовать изменения нуклона в ядре по сравнению со свободным нуклоном, например, изменение его размеров^{/3/}.

Свойства нуклона меняются в зависимости от плотности ρ и температуры T ядерного вещества. В настоящее время стало возможным в столкновениях тяжелых ядер высокой энергии получение и исследование ядерного вещества большой плотности и температуры. При этом естественно возникает вопрос о том, до каких пределов, до сколь больших ρ , T ядерное вещество может состоять лишь из трехкварковых мешков-нуклонов. СВМ дает возможность провести такие исследования. При большой плотности и температуре растет среднее пионное поле СВМ и его квантовые и термодинамические флуктуации. Поэтому оказалось необходимым развить СВМ, последовательно включающую существенно нелинейное взаимодействие кварков с пионным полем, как классическим, так и квантовым^{/4,5/}. Как было показано в^{/2/}, увеличение плотности ρ (при $T = 0$) приводит к росту пионного поля мешка СВМ, из-за чего при достаточно большой $\rho > \rho_c$ невозможно существование трехкваркового мешка-нуклона. Причем эта критическая плотность ρ_c такова, что мешки-нуклоны еще "геометрически" не перекрываются. Для описания свойств нуклона в ядерном веществе в зависимости от его температуры мы в настоящей работе обобщаем СВМ, включая в нее термодинамические флуктуации пионного поля в среде при $T \neq 0$. В этой работе исследуются именно изменения мешка-нуклона, вызванные ростом температуры T , плотность же среды полагаем равной плотности обычных ядер $\rho = \rho_0$. Как будет показано, рост T меняет

свойства нуклона, и при достаточно больших $T > T_c$ из-за роста термодинамических флуктуаций пионного поля в ядерной среде становится невозможным существование трехкваркового мешка-нуклона. Мы исследуем нуклон в существенно нелинейной по пионному полю СВМ, которая в пустоте приводит^{4,5/} к устойчивому состоянию системы трех запертых в мешке кварков с определенным полным спином и изотопспином и их проекциями. Существование мешка-нуклона в ядерном веществе становится невозможным именно вследствие роста пионного поля и его термодинамических флуктуаций с увеличением T, ρ .

В разд. 2 мы получаем уравнения СВМ в ядерном веществе при конечной температуре, а в разд. 3 качественно исследуем решения этих уравнений и затем представляем результаты численных расчетов. Общие выводы наших исследований содержатся в заключении.

2. УРАВНЕНИЯ СВМ С УЧЕТОМ ТЕРМОДИНАМИЧЕСКИХ ФЛУКТУАЦИЙ ПИОННОГО ПОЛЯ

Общий лагранжиан СВМ^{1,6,7/} в наших исследованиях:

$$\mathcal{L}_{\text{СВМ}} = \mathcal{L}_q + \mathcal{L}_\pi + \mathcal{L}' \quad (1)$$

Здесь

$$\mathcal{L}_q = \left(\frac{i}{2} \bar{q} \overleftrightarrow{\partial} q - B \right) \theta_V, \quad \overleftrightarrow{\partial} = \gamma_\mu \overrightarrow{\partial}_\mu - \overleftarrow{\partial}_\mu \gamma_\mu \quad (2)$$

лагранжиан, описывающий кварки. Вакуумное давление B связано с энергией КХД-вакуума; $\theta_V = 1$ внутри мешка и $\theta_V = 0$ вне его. Лагранжиан пионного поля в среде представляем, как и ранее в^{2,3/}, в виде

$$\mathcal{L}_\pi = - \frac{1}{2} \vec{\pi}^2 + \frac{1}{2} (\partial_\mu \vec{\pi})^2 - \frac{1}{2} \vec{\pi} \hat{\Pi} \vec{\pi} = \quad (3)$$

$$= \frac{1}{2} \sum_{\omega, \vec{k}} [\omega^2 - 1 - \hat{k}^2 - \hat{\Pi}(\omega, \vec{k}, \rho, T)] \vec{\pi}_{\omega, \vec{k}}^2(t, \vec{r}).$$

Здесь и везде далее используется система единиц $\hbar = m_\pi = 1$. Сюда входит поляризационный оператор пионного поля $\hat{\Pi}(\omega, \vec{k}, \rho, T)$, что отличает это выражение от лагранжиана свободного пионного поля. Величина $\hat{\Pi}(\omega, \vec{k}, \rho, T)$ учитывает в общем случае как взаимодействие пионного поля со средой, так и его самодействие. Введением поляризации среды $\hat{\Pi}(\rho, T)$ в (3) учитывается изменение пионного поля СВМ и,

следовательно, влияние среды на мешок-нуклон. $\Pi(\rho, T)$ характеризует средние свойства ядерного вещества и пионного поля подобно тому, как в электродинамике свойства среды описываются диэлектрической проницаемостью и магнитной восприимчивостью. Эта величина $\Pi(\omega, \vec{k}, \rho, T)$, в частности ее зависимость от температуры, исследовалась ранее [8, 9], и мы пользуемся далее, в разд. 3, результатами этих работ. Будет рассмотрен и пример термодинамических возбуждений свободных пионов ($\Pi(\omega, \vec{k}) = 0$), находящихся в тепловом равновесии с ядерной средой.

Лагранжиан

$$\mathcal{L}' = \lambda \bar{q} (\exp[i \gamma_5 \vec{\tau} \vec{\pi} / f]) q \delta_s, \quad f \approx 0,66 \quad (4)$$

включает взаимодействие кварков с пионным полем на поверхности мешка. Его включение в $\mathcal{L}_{\text{СВМ}}$ обеспечивает запертие кварков внутри мешка [1]. Входящий сюда лагранжев множитель λ [6, 7] определяется далее. Из минимальности действия относительно вариаций полей $q, \vec{\pi}$, границы мешка и величины λ получаем уравнения Эйлера-Лагранжа для операторов полей

$$\partial_{\nu} [i \not{\partial} q] = 0, \quad (5)$$

$$[\bar{q} \exp(i \vec{\tau} \vec{\pi} \gamma_5 / f) q]_s = 0, \quad (6)$$

$$(-\frac{i}{2} \vec{\gamma} \vec{n} q)_s = \lambda (\exp(i \vec{\tau} \vec{\pi} \gamma_5 / f) q)_s, \quad (7)$$

$$B = \lambda \vec{n} \vec{\nabla} [\bar{q} \exp(i \vec{\tau} \vec{\pi} \gamma_5 / f) q]_s, \quad (8)$$

$$(-\omega^2 + 1 + \vec{k}^2 + \hat{\Pi}(\omega, \vec{k}, \rho, T)) \vec{\pi} = (\delta \mathcal{L}' / \delta \vec{\pi}). \quad (9)$$

Уравнение (5) описывает свободные безмассовые кварки в мешке. Уравнения (6), (8) представляют собой граничные условия (на это указывает индекс s), обеспечивающие равенство нулю нормальной составляющей тока через поверхность ($\vec{j}_s \cdot \vec{\nu} = 0$) и давления на поверхности ($\partial_{\mu} T_s^{\mu\lambda} = 0$) мешка [1, 7]. Лагранжев множитель λ определяется из (7). Усреднив (7) по состоянию пионного поля и взяв квадрат модуля обеих частей, находим

$$\frac{1}{4} = \lambda^2 (\langle \exp(i \vec{\tau} \vec{\pi} \gamma_5 / f) \rangle)^+ (\langle \exp(i \vec{\tau} \vec{\pi} \gamma_5 / f) \rangle). \quad (10)$$

Если принять, что в рассматриваемом состоянии есть лишь среднее пионное поле мешка $\vec{\phi} = \langle \vec{\pi} \rangle$, источником которого согласно (9) служат

кварки, а флюктуации $\vec{\pi} = \vec{\pi} - \vec{\phi}$ отсутствуют, то $|\exp(i\vec{\phi}\vec{\tau}\gamma_5/f)|^2 = 1$, и из (10) получаем значение

$$\lambda = \pm \frac{1}{2} \quad (11)$$

MIT-модели и обычной СВМ^{/1, 6, 7/}. При учете квантового пионного поля $\vec{\pi}$ в расчеты входит пропагатор \mathcal{D} пионного поля в ядерной среде с температурой T ^{/8, 10/}.

$$\begin{aligned} \langle \hat{T}_{\pi} (\hat{\pi}_{\alpha}(\mathbf{x}_1) \hat{\pi}_{\beta}(\mathbf{x}_2)) \rangle &= \mathcal{D}_{\alpha\beta}(\mathbf{x}_1 - \mathbf{x}_2, \rho, T) = \\ &= \delta_{\alpha\beta} \int \frac{d\vec{k}}{(2\pi)^3} e^{i\vec{k}(\vec{x}_1 - \vec{x}_2)} \int_{+0}^{\infty} \frac{2d\xi}{\pi} e^{i\xi(t_1 - t_2)} \times \\ &\times \text{Im} \mathcal{D}(\xi - i0, \vec{k}, \rho, T) \left[\chi(\xi) + \frac{1}{2} \right], \end{aligned} \quad (12)$$

$$\chi(\xi) = (\exp(\xi/T) - 1)^{-1},$$

$$\mathcal{D}^{-1}(\xi, \vec{k}, \rho, T) = \xi^2 - 1 - \vec{k}^2 - \Pi(\xi, \vec{k}, \rho, T).$$

Пионное поле в (12) описывается лагранжианом (3), и среднее вычисляется в равновесном состоянии нагретого ядерного вещества. В частности, для свободных пионов, т.е. при $\Pi(\xi, \vec{k}) = 0$,

$$\mathcal{D}(\mathbf{x}_1 - \mathbf{x}_2) = \int \frac{d\vec{k} (\chi(\omega(\vec{k})) + \frac{1}{2})}{(2\pi)^3 \omega(\vec{k})} \exp[i\vec{k}(\vec{x}_1 - \vec{x}_2) - i|t_1 - t_2| \omega(\vec{k})]. \quad (12a)$$

Мы имеем систему кваркового (2) пионного (3) взаимодействующих полей. Их взаимодействие включает лагранжиан \mathcal{L}' (4). Соответственно этому, применяя (5)-(10) к нашей системе, приходим к вычислению средних значений операторов в (5)-(10) по стационарному состоянию взаимодействующих полей (1)-(4). Такие вычисления были выполнены для свободного нуклона, $\Pi(\omega, \vec{k}) = 0$, в работе^{/5/}. Как было показано в^{/5/}, СВМ допускает обобщение на существенно нелинейное взаимодействие кварков с квантовым пионным полем. В настоящей работе мы применяем соотношения (5)-(10) в нагретой ядерной среде к равновесному состоянию пионных возбуждений с функцией Грина (12), т.е. полагаем, что состояния квантового пионного поля, по которым усредняются (5)-(10), не искажены взаимодействием \mathcal{L}' с кварками рассматриваемого мешка. Влияние среды, в которой находится мешок, на пионные возбуждения учтено наличием $\Pi(\omega, \vec{k}, \rho, T)$ в (3) и, соответственно, в (12). При этом вычислении средних значений (5)-(10) появится функция Грина $\mathcal{D}(\vec{r}_1 - \vec{r}_2, t_1 - t_2)$ (12) с совпадающими аргументами: $\vec{r}_1 = \vec{r}_2$, $t_1 = t_2 + 0$. Так получается, очевидно, потому,

что все эти выражения содержат $\langle \exp(i\vec{r}\vec{\pi}(\mathbf{x})\gamma_5/f) \rangle$, т.е. среднее от бесконечного ряда по степеням операторов $\vec{\pi}(\mathbf{x})$, взятых в одной точке \mathbf{x} . Эти средние по теореме Вика выражаются через произведения функций $\mathfrak{F}(t_1 = t_2, t_1 = t_2 + 0)$, содержащих бесконечный вклад нулевых колебаний вакуума $-1/2$ рядом с $\chi(\xi)$ в (12). Чтобы исключить бесконечный вклад нулевых колебаний при расчетах в пустоте, произведения операторов в (5)-(10) записывают в нормальной форме, тогда в результате расчетов величина $\mathfrak{F}(0, 0)$ не войдет. Вклад нулевых колебаний поля в среде меняется по сравнению с пустотой — меняется $\mathfrak{F}(0, \rho, T)$. Чтобы это учесть, в среде не пишут в (5)-(10) N-произведения операторов, но из величины $\mathfrak{F}(0, \rho, T)$ в формулах для средних (5)-(10) вычитают ее значение при $\rho = 0, T = 0$, так что все наши расчеты в ядерном веществе содержат конечную величину

$$\mathfrak{F}(0, \rho, T) - \mathfrak{F}(0, 0, 0) \equiv d f^2. \quad (13)$$

Мы рассматриваем далее при $T \neq 0$ ядерное вещество обычной плотности $\rho = \rho_0 = 0,5$. Как увидим, в этих условиях среднее поле ϕ СВМ оказывается небольшим, $\phi < 1$, для физических состояний, мешканулона, и мы во всех вычислениях оставляем линейные по ϕ члены. Это упрощает расчеты, делает их обозримыми, не меняя существа окончательных выводов наших исследований. В соответствии со всем сказанным вычисляем средние в формулах (5)-(10) по равновесному состоянию пионного поля. В соотношении (10) находим

$$\begin{aligned} \langle \delta_s \exp(i(\vec{\pi}(\mathbf{x}) + \vec{\phi}(\vec{\mathbf{x}}))\vec{r}\gamma_5/f) \rangle &\approx \langle \delta_s \sum_{k=0}^{\infty} \frac{(-1)^k}{(2k)!} \times \\ &\times \{ \vec{\pi}^{2k}(\mathbf{x}) + \frac{i\gamma_5}{(2k+1)} [\vec{\pi}^{2k}(\mathbf{x})(\vec{\phi}(\vec{\mathbf{x}})\vec{r}) + 2k\vec{\pi}^{2(k-1)}(\mathbf{x}) \times \\ &\times (\vec{\pi}(\mathbf{x})\vec{\phi}(\vec{\mathbf{x}})(\vec{r}\vec{\pi}(\mathbf{x})) \} \rangle = e^{-d/2} [1 - d + i\gamma_5(\vec{r}\vec{\phi}(\vec{\mathbf{x}}))(1 - d/3)/f] \delta_s. \end{aligned} \quad (14)$$

И тогда из (10) получаем

$$\begin{aligned} \lambda &= \pm \frac{1}{2} \exp\left(\frac{d}{2}\right) \left[(1-d)^2 + \vec{\phi}^2(\vec{\mathbf{x}}) \left(1 - \frac{d}{3}\right)^2 f^{-2} \right]^{-1/2} \approx \\ &\approx \pm \frac{1}{2} \exp\left(\frac{d}{2}\right) (1-d)^{-1}. \end{aligned} \quad (15)$$

Как и в иных гибридных моделях мешков/1, 6, 7/, выбираем знак минус в выражении для лагранжева множителя λ . Естественно, в отсутствие термодинамических флуктуаций, $T = 0, d = 0$, получим $\lambda = -1/2$ (11), как в MIT-модели и в СВМ без квантового пионного поля.

Уравнения (5)-(9) применяем к нуклону — стационарному состоянию трех кварков с полным спином $\sigma = 1/2$ и изотопспином $\tau = 1/2$ и их определенными проекциями σ_z, τ_0 . Волновую функцию этого состояния строим обычным образом^{1/} из функций свободных кварков в $1S_{1/2}$ -состоянии, находящихся в сферическом мешке радиуса R :

$$q_{1S_{1/2}}^\mu = \frac{\mathcal{N}}{\sqrt{4\pi}} \left(\begin{matrix} j_0(p\mathbf{r}) \\ i(\vec{\sigma}\vec{n}) j_1(p\mathbf{r}) \end{matrix} \right) \chi_{1/2}^\mu, \quad \vec{n} = \vec{r}/r, \quad x = pR, \quad (16)$$

$$\mathcal{N}^{-2} = R^3 (x^2 - \sin^2 x) x^{-4}, \quad j_\ell(z) = \sqrt{\frac{\pi}{2z}} J_{\ell+1/2}(z).$$

Далее мы убедимся, что все вычисления можно провести, принимая мешок-нуклон сферическим. Вычисляем среднее (5)-(9) в этом состоянии мешка с полем $\vec{\phi}$ при наличии пионных возбуждений в тепловом равновесии с нагретой ядерной средой. Усреднение по пионным степеням свободы делается аналогично (14), а среднее по состоянию трех кварков (16) с описанной выше полной волновой функцией вычисляется обычным образом^{1/}. В результате получаем уравнения

$$F_s(\vec{r}) = 0, \quad (17)$$

$$-2B = \frac{\mathcal{N}^2}{4\pi} (\vec{n}\vec{\nabla} F(\vec{r}))_s, \quad (18)$$

где

$$F(\vec{r}) = 3(j_0^2(r\rho) - j_1^2(r\rho)) - \frac{10}{3} j_0(r\rho) j_1(r\rho) \times \\ \times \langle N | (\vec{\sigma}\vec{n}) \vec{\tau} | N \rangle \vec{\phi}^N(\vec{r}) (1-d/3)(1-d)^{-1}. \quad (17a)$$

$$(-\omega^2 + 1 + \vec{k}^2 + \Pi(\omega, \vec{k}, \rho, T)) \phi_\alpha^N(\vec{r}) = \\ = \langle N | \delta \mathcal{L}' / \delta \vec{\pi}_\alpha | N \rangle = Q_\alpha^N = \quad (19)$$

$$= -\frac{\mathcal{N}^2}{4\pi} \frac{\delta_s}{2f} \{ 3(j_0^2(r\rho) - j_1^2(r\rho)) \phi_\alpha^N(\vec{r}) / f + \\ + \frac{10}{3} j_0(r\rho) j_1(r\rho) \langle N | \tau_\alpha | N \rangle \langle N | \vec{\sigma} \cdot \vec{n} | N \rangle \} \left(\frac{d}{3} - 1 \right) (1-d)^{-1}.$$

Индекс s указывает, что соотношения выполняются на поверхности мешка и δ_s — поверхностная δ -функция. Здесь $|N\rangle$ — состояние

нуклона с определенной проекцией спина и изоспина. Заметим, что в правой части (19) учтен член, пропорциональный $\vec{\phi}$, так что это уравнение можно применять к исследованию состояний с $\phi \leq 1$, но не обязательно $\phi \ll 1$. Уравнение (19) удобно для дальнейших расчетов переписать в виде

$$\phi_{\alpha}^N(\vec{r}) = - \int d\vec{r}_1 \mathcal{D}(\vec{r} - \vec{r}_1) Q_{\alpha}^N(\vec{r}_1), \quad (19a)$$

где

$$\mathcal{D}(\vec{r}) = \frac{1}{(2\pi)^3} \int d\vec{k} e^{-i\vec{k}\vec{r}} \mathcal{D}(0, \vec{k}, \rho, T) = \int \frac{d\vec{k} e^{-i\vec{k}\vec{r}} (2\pi)^{-3}}{-\vec{k}^2 - 1 - \Pi(0, \vec{k}, \rho, T)}. \quad (20)$$

Для свободных пионов, $\Pi(\omega, \vec{k}) = 0$, имеем хорошо известное выражение

$$\mathcal{D}(r) = - \frac{e^{-r}}{4\pi r}. \quad (21)$$

Диагональный матричный элемент $\langle N | \tau_{\alpha} | N \rangle \neq 0$ лишь при $\alpha = 0$. Поэтому для $\phi_{\beta \neq 0}$ уравнение (19) однородное, и нетрудно убедиться, что оно имеет лишь решение $\phi = 0$. Для $\alpha = 0$ из (19), (19a) получаем

$$\phi_0^N(\vec{r}) = \vec{\phi}(r) \langle N | \tau_0 | N \rangle \langle N | \vec{\sigma} \vec{n} | N \rangle \equiv \tau_0^N \sigma_z^N \cos \theta \cdot \vec{\phi}(r), \quad (22)$$

$$\vec{\phi}(r) = \frac{\mathcal{N}^2}{8\pi f} I(r, R) \frac{10}{3} j_0(x) j_1(x) \left(\frac{d}{3} - 1\right) (1-d)^{-1} \times \\ \times \left[1 - \frac{\mathcal{N}^2}{8\pi f} I(R, R) 3(j_0^2(x) - j_1^2(x)) \left(\frac{d}{3} - 1\right) (1-d)^{-1} \right], \quad (23)$$

$$I(r, R) = R^2 \int d\vec{n}' (\vec{n} \vec{n}') \mathcal{D}(\vec{r} - \vec{r}'), \quad r' = R. \quad (24)$$

Выражение (23) для $\vec{\phi}$ справедливо, разумеется, лишь для d , существенно меньших 1, т.к. во всех расчетах мы принимали $\phi < 1$. Поле $\vec{\phi}_0^N(\vec{r})$, пропорциональное $\langle N | \vec{\sigma} \cdot \vec{n} | N \rangle$, входит в уравнения (17), (18), определяющие состояние мешка. Это состояние, очевидно, не может быть сферически симметричным, вопреки тому, что мы принимали при получении (17)-(19). Чтобы свести задачу к исследованию сферической системы, будем описывать нуклон усредненными по углам уравнениями (17), (18). Функция (17a) с ϕ_0^N (22) содержит $\langle N | \vec{\sigma} \cdot \vec{n} | N \rangle^2 = \cos^2 \theta$, и после усреднения $\overline{\cos^2 \theta} = 1/3$ приходим к уравнениям

$$F(R) = 0, \quad (25)$$

$$-2B = \frac{\eta^2}{4\pi} \frac{\partial}{\partial r} F(r) \Big|_{r=R}, \quad (26)$$

$$F(r) = 3(j_0^2(r) - j_1^2(r)) - \frac{10}{3} j_0(r) j_1(r) \frac{\bar{\phi}(r)}{3} (1 - \frac{d}{3})(1 - d)^{-1}, \quad (25a)$$

описывающим усредненное по углам состояние мешка-нуклона. Они совместно с (23) при $r = R$ определяют радиус мешка R , импульсы кварков p и поле $\bar{\phi}(R)$; зависимость $\bar{\phi}(r)$ и $\phi'(r)$ определяется функцией $I(r, R)$ в (24).

Уравнение (26) соответствует ^{1/} условию

$$\partial E / \partial R = 0,$$

где

$$E = \int d\vec{r} T^{00}(\vec{r}) \quad (27)$$

полная энергия системы. В устойчивом состоянии совместному решению $R_e, \bar{\phi}_e, p_e$ уравнений (23)-(26) соответствует абсолютный минимум E . Из (1)-(4), используя (5)-(9), имеем для полной энергии мешка (27)

$$E = 3p + B 4\pi R^3 / 3 + E_\pi,$$

$$E_\pi = \frac{1}{2} \int d\vec{r} \langle (\delta \mathcal{L}'(\vec{r}) / \delta \vec{\pi}(\vec{r})) \vec{\phi}(\vec{r}) \rangle. \quad (28)$$

Вычисление E_π аналогично предыдущим расчетам:

$$E_\pi = \frac{\eta^2 R^2}{4} \left(\frac{\bar{\phi}(R)}{3f} \right) \frac{10 j_0(x) j_1(x)}{3} (1 - \frac{d}{3})(1 - d)^{-1}, \quad x = pR. \quad (29)$$

Интегрирование по углам содержится в (27), (28), поэтому при вычислении полной энергии не требуется дополнительного усреднения по углам, которое делалось при получении (25)-(26). Как отмечалось ранее, наши расчеты пригодны для d , существенно меньших 1. Так что нельзя использовать для E_π выражение (29) при $d \rightarrow 1$, когда оно бесконечно растет, хотя сам по себе рост E с ростом d , т.е. температуры T , и представляется естественным.

В последующих расчетах мы исследуем E (28) как функцию R . Чтобы получить $E(R)$, находим из (23)-(25) функции $p(R)$ и $\bar{\phi}(R)$ и подставляем в (27). Уравнение (26) при этом не используется. Мы убеж-

даемся далее (см. разд.3), что при тех ρ , T , для которых (23) - (26) имеют совместное решение $\vec{\phi}_e$, P_e , R_e , энергия $E(R)$ имеет абсолютный минимум точно при $R = R_e$. Но оказывается, что при достаточно большой $T > T_c$, (23) - (26) не имеют совместных решений, соответственно, при этих T полная энергия не имеет минимума, и, следовательно, невозможно существование мешка-нуклона.

Зависимость от ρ , T входит в соотношения, описывающие мешок-нуклон в ядерном веществе, через величины d (13) и $\mathcal{D}(\vec{r})$ (20), которые, в свою очередь, определяются функцией Грина $\mathcal{D}(\xi, \vec{k}, \rho, T)$ (12), т.е. поляризационным оператором пиона в ядерном веществе. В следующем разделе мы исследуем мешок-нуклон в зависимости от T , принимая различные модели для описания пионного поля, т.е. $\mathcal{D}(\xi, \vec{k}, \rho, T)$, в ядерном веществе.

3. РЕЗУЛЬТАТЫ РАСЧЕТОВ И ИХ ОБСУЖДЕНИЕ

Полученные уравнения позволяют до выполнения численных расчетов выяснить, как ведет себя исследуемая система в зависимости от температуры T . Из (25), (25а) ясно, что при $\vec{\phi}(R) = 0$ имеем $pR = x = x_0 = 2,04$ (первый корень уравнения $j_0(x) = j_1(x)$) и рост $\vec{\phi}(R)$ соответствует уменьшению $x < x_0$. Конечно, физический смысл имеют лишь $x > 1$ в соответствии с соотношением неопределенности. В этой работе мы ограничиваемся исследованием $\phi(R) < 1$, но для общего случая сильных полей при $T = 0$ в работе^{/2/} было показано, что при уменьшении x величина $\vec{\phi}(R)/f$ стремится к "киральному пределу" π ; наличие $d \neq 0$ этого вывода не меняет. Из (23), (25), (25а) находим соотношение

$$a(T, R) b(\psi) c(x) = 1, \quad c(x) = j_0^2(x) - j_1^2(x), \quad (30)$$

$$b(\psi) = (\psi^2 + 3) \psi^{-2}, \quad a = -\frac{3}{2} I(R, R) \mathcal{H}^2 \left(1 - \frac{d}{3}\right) (1 - d)^{-1},$$

связывающее величины $\psi = \vec{\phi}(R)/f$ и x , подобно соотношению (28) в работе^{/2/}. Оно позволяет проследить поведение величин $\phi(R)$ и $x(R)$, т.е. $p(R)$, в зависимости от R , T . При больших R величина $a(R)$ мала ($a \rightarrow 0$), и получить 1 в правой части (30) можно лишь при достаточно малых $\phi \ll 1$ и $x \sim x_0$, т.к. при этом произведение $c(x) \cdot b(\psi)$ может стать сколь угодно большим. С уменьшением R растет $a(R)$, и, начиная с некоторого R_k , появляется возможность удовлетворить (30) не только при $\psi_1 \ll 1$, $x_1 \sim x_0$, но и при сильном поле $\psi_2 \geq 1$ и $x_2 < x_0$, когда $b(\psi) \sim 1$, но и $c(x) \sim 1$; появляется второе решение уравнений (23) - (25). При дальнейшем уменьшении $R < R_k$, т.е. росте $a(R)$, эти два решения сближаются, т.к. малую величину произведения $b(\psi) c(x) =$

$= 1/a(R, T)$ можно получить, либо увеличивая ψ_1 и уменьшая x_1 в первом решении, либо, наоборот, уменьшая ψ_2 и увеличивая x_2 во втором. Но стать сколь угодно малым это произведение $b(\psi) \cdot c(x)$ не может, и a с уменьшением R растет неограниченно. Поэтому при некотором $R = R_c$ оба решения сливаются, а при $R < R_c$ уравнения (23)-(25) совместных решений не имеют. Следовательно, заведомо не может быть мешка с $R < R_c$.

Двум решениям (23)-(25) соответствуют и две ветви энергии $E(R)$ (27) как функции R . Соответствующая первому решению ψ_1, x_1 энергия $E_1(R)$ при больших R убывает с уменьшением R и может достигнуть минимума при $R = R_e$ — совместном решении (23)-(25), что и соответствует устойчивому физическому состоянию. В этом случае при $R < R_e$ энергия $E_1(R)$ вновь растет и достигает максимума при $R = R_m \approx R_c$. Вторая ветвь $E_2(R)$, соответствующая второму решению x_2, ψ_2 при $R_c < R < R_k$, минимума не имеет и никакому физическому состоянию системы соответствовать не может. Решения ϕ, R, ρ (23)-(25) и энергия E (28) зависят, очевидно, от T (и ρ). С ростом T растет d и a при данном R , поэтому увеличивается R_c . R_e сближается с R_m , а максимум $E(R_m)$ понижается. При $T = T_c$ величины R_e и R_m совпадают, и при $T \geq T_c$ функция $E(R)$ не имеет минимума, нет совместных решений (23)-(25). При таких $T > T_c$ невозможно существование трехкваркового мешка-нуклона в ядерной среде.

Эту общую физическую картину мы получаем далее в численных расчетах, делая определенные предположения о пионном поле в ядерном веществе $T \neq 0$, т.е. о функции $\mathcal{D}(\xi, \vec{k}, \rho, T)$, определяющей d и $\mathcal{D}(r)$ в (23)-(29). Во всех этих модельных расчетах оказывается возможным записать $\mathcal{D}(0, \vec{k})$ в виде

$$\mathcal{D}^{-1}(0, \vec{k}) \approx -\gamma(\vec{k}^2 + \tilde{m}^2), \quad (31)$$

и, соответственно,

$$\mathcal{D}(r) = -(4\pi\gamma)^{-1} \exp(-\tilde{m}r), \quad (32)$$

и для $I(R, R)$ (24) имеем

$$I(R, R) = (2\tilde{m}^3 \gamma R^2)^{-1} (1 + R\tilde{m}) [(1 - e^{-2R\tilde{m}}) - R\tilde{m} (1 + e^{-2R\tilde{m}})]. \quad (33)$$

В наши уравнения входит вакуумное давление B (2). Дальнейшие расчеты делались для значений B , не противоречащих имеющимся данным^{11/}. При этом, как увидим, для различных B все величины зависят от ρ , T сходным образом.

Прежде всего рассмотрим свободные пионные возбуждения ($\Pi(\omega, \vec{k}) = 0$) в тепловом равновесии со средой ("черное излучение"). Тогда в (31)-(33), очевидно, имеем

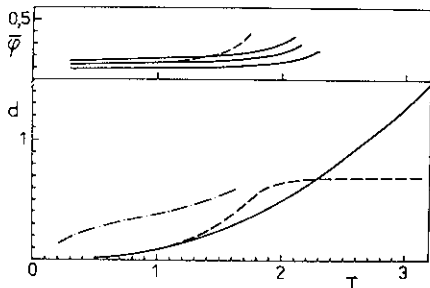


Рис. 1. Зависимость от T величин d и $\bar{\phi}$. Сплошные кривые получены согласно формулам (34), (35); штрихованные — (39), (39а); штрихпунктирная — (41). $\bar{\phi}$ вычислены при $V = 1, 2, 3$.

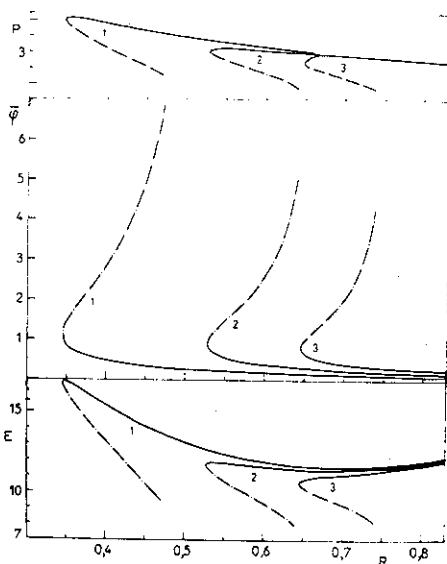


Рис. 2. Зависимость от R энергии мешка E , поля $\bar{\phi}$ и импульса кварков p при $\Pi(\omega, \mathbf{k}, \rho, T) = 0$, формулы (34), (35). Кривые "1" соответствуют $T = 0,5$, "2" — $T = 2,1$, "3" — $T = 2,3$. Все расчеты выполнены для $V = 2$.

$$\gamma = \bar{m} = 1, \quad (34)$$

и величина

$$d(T) = \frac{1}{2\pi^2 f^2} \int_0^{\infty} \frac{k^2 dk}{\omega(k)} [\exp(-\omega(k)/T) - 1]^{-1}, \quad \omega^2(k) = 1 + k^2. \quad (35)$$

Она представлена сплошной кривой на рис. 1. При каждом значении T ищем решение (23)-(26) $R_e(T)$, $p_e(T)$, $\phi_e(T)$ и вычисляем $\phi(R)$, $p(R)$, $E(R)$, как описано выше; см. рис. 2. При $T < T_c \approx 2,1$ решение существует, $E(R)$ имеет абсолютный минимум при $R = R_e(T) \approx 0,6 \div 0,8$. При $T > T_c$ система существовать не может: $E(R)$ не имеет минимума, (23)-(25) не имеют решения. Зависимость энергии $E(R)$, импульса кварков $p(R)$ и поля $\bar{\phi}(R)$ от R при различных T , представленная на рис. 2, соответствует проведенному выше качественному анализу. Из рис. 2 видно, как наступает неустойчивость мешка с ростом T . При $T = 0,3$ $E(R)$ имеет глубокий минимум. При $T = 2,1 \approx T_c$ система близка к неустойчивости, а при $T = 2,3 > T_c$ E никакого минимума не имеет, мешок существовать не может. Из рис. 1 видно, как растет поле $\bar{\phi}(R, T)$ на границе мешка по мере приближения T к T_c ; заканчиваются эти кривые $\bar{\phi}(T)$ при $T = T_c$. Для ветвей кривых, изображенных на рис. 2 штрихпунктиром, наши расчеты, строго говоря, не оправданы,

Таблица. Размер мешка R_e и импульс кварков p_e при $T=0$ и $T=T_c$ для различных B из (2) и Λ из (36)

B	1		2		3	
Λ	0	0,4	0	0,5	0	0,7
T_c	2,35	1,95	2,15	1,75	2,15	1,55
$R_e(0)$	0,832		0,698		0,630	
$R_e(T_c)$	0,800	0,795	0,680	0,678	0,600	0,605
$p_e(0)$	2,43		2,88		3,18	
$p_e(T_c)$	2,29	2,25	2,75	2,74	2,95	3,05

т.к. здесь $\bar{\phi}(R) > 1$. Но это, с одной стороны, не очень важно — эти ветви не соответствуют физическим состояниям, а с другой стороны, в ^{2/2} без предположения $\bar{\phi}(R) < 1$ показано, что решения уравнений, аналогичных (23)-(26) при $T=0$, имеют по существу ту же зависимость от R . Для различных B величины R_e, p_e , конечно, несколько различаются, на ~ 20% (см. таблицу). Значения R_e, p_e при $T=0$ и при $T=T_c$ для всех B отличаются мало, на ~ 5 ÷ 7%.

При больших T флуктуации пионного поля велики, и следует учесть взаимодействие пионных возбуждений. Запишем его в том же виде, что и для свободных пионов:

$$\mathcal{L}_{\pi\pi} = \Lambda \vec{\pi}^2 [-\partial_\mu \vec{\pi} \partial^\mu \vec{\pi} + \vec{\pi}^2/2] / 2. \quad (36)$$

Соответствующий (36) поляризационный оператор вычислен в ^{8,9/} в приближении Хартри — Фока :

$$\Pi^\pi(\omega, \vec{k}) = \text{[diagram: a circle with a shaded center and wavy lines radiating outwards]} = -5d\Lambda + 3d\Lambda(\omega^2 - \vec{k}^2) + 3d\Lambda \frac{(1-5d\Lambda)}{(1-6d\Lambda)}, \quad (37)$$

где

$$d(T) = \int \frac{dk \cdot k^2 \cdot \chi(\omega(k))}{\pi^2 2\omega(k) (1-3\Lambda d(T))}, \quad \omega^2(k) = k^2 + \frac{1-5d\Lambda}{1-6d\Lambda}. \quad (38)$$

В формулах (31)-(33)

$$\bar{m}^2 = (1 - 5\Lambda d)(1 - 6\Lambda d)^{-1}, \quad \gamma = (1 - 3d\Lambda). \quad (39)$$

Расчеты проводились для $\Lambda \sim 0,5$ так, чтобы выполнялось приближение (37), (38) ^{/8,10/}. Найденная из (38), (39) $d(T)$ (см. рис. 1) при $T \geq 1$ существенно отличается от d при $\Pi = 0$ (35). Взаимодействие пионных возбуждений с достаточно большим $\Lambda = 0,5$ препятствует росту $d(T)$ при больших T , что непосредственно видно из (38), (39). Как показали наши расчеты, включение взаимодействия (36)-(39) не меняет существенно физическую картину поведения мешка-нуклона в зависимости от T . Критическая температура несколько уменьшается, $T_c \approx 1,7$, и все величины меняются с ростом T , как и при $\Lambda = 0$; их значения при $T = T_c$ по существу такие же, как и при $\Lambda = 0$, что видно из таблицы и рис. 1.

В этих вычислениях учитывалось лишь наличие в нагретом ядерном веществе пионных возбуждений, не искаженных влиянием среды. Поляризационный оператор $\Pi(\rho, T)$ и функция Грина $\mathcal{D}(\rho, T)$ пиона в ядерном веществе исследовались в ^{/8-10/} при различных ρ, T . Находя эти величины из численных расчетов ^{/8,9/}, можно также численно получать и $d(T)$ (13), $\mathcal{D}(r)$ (20), $I(r, R)$ (24), и из численного решения уравнений (23)-(26) находить $R_e, \vec{\phi}_e, R_e$ и вычислять $E(R)$ (28) при различных T, ρ . Такие общие вычисления мы не проводили, а для $\mathcal{D}(0, \vec{k})$ воспользовались аппроксимацией (31)-(33) с

$$\bar{m}^2 = 1 + 5\Lambda d; \quad \gamma = 0,45 + (T - 0,25) 0,25; \quad \Lambda \approx 0,1, \quad (40)$$

которую можно получить для $\rho = \rho_0 = 0,5, 0,2 < T < 1,5$ из расчетов согласно ^{/8,9/}. $\Lambda = 0,1$ в $\pi\pi$ -взаимодействии $\mathcal{L}_{\pi\pi} = -\Lambda \vec{\pi}^4/4$ соответствует слабому отталкиванию. Согласно ^{/9/} d можно представить в виде

$$d = \sum_i \int_0^\infty \frac{k^2 dk [\chi(\omega_i(\vec{k})) + 1/2]}{\pi^2 |\partial \mathcal{D}^{-1}(\omega, \vec{k}) / \partial \omega|_{\omega=\omega_i(\vec{k})}} - \int_0^\infty \frac{k^2 dk}{2\pi^2 \sqrt{1 + k^2}}, \quad (41)$$

суммы по ветвям $\omega_i(\vec{k})$ спектра пионных возбуждений при $T \neq 0$, который получается из уравнения

$$\omega^2 - 1 - \vec{k}^2 - \text{Re } \Pi^n(\omega, \vec{k}, \rho, T) - 5\Lambda d(\rho, T) = 0. \quad (42)$$

$\Pi^n(\omega, \vec{k})$ вычисляется согласно ^{/8,9/}. На рис. 3 для примера приведены $\omega_i(\vec{k})$ ($i = 1, 2, 3$) при $\rho = \rho_0 = 0,5, T = 0,5$. В (41) учтено, что $\mathcal{D}(\omega, \vec{k}, \rho, T) \neq \mathcal{D}(\omega, \vec{k}, 0, 0)$. Эта $d(T)$ представлена на рис. 1 штрихпунктирной кривой. Результаты расчетов согласно (40)-(42) представлены на рис. 4-6. Зависимости $p(R), \phi(R), E(R)$ остаются такими же, как и

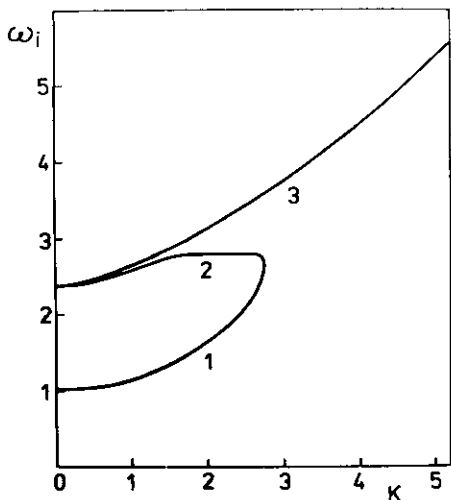


Рис. 3. Спектр пионных возбуждений в ядерном веществе при $\rho = \rho_0 = 0,5$, $T = 0,5$, полученный из (42). Цифры у кривых нумеруют ветви спектра, $i = 1, 2, 3$.

Рис. 4. Зависимость от R энергии мешка E при различных V и T ; расчеты выполнены согласно (40), (41). Кривые без крестика получены для $V = 2$, а кривые, помеченные крестиком, — для $V = 1$. Кривым соответствуют температуры: "1" — $T = 0,2$; "2" — $T = 1,2$; "3" — $T = 1,5$; "4" — $T = 0,5$; "5" — $T = 1,575$.

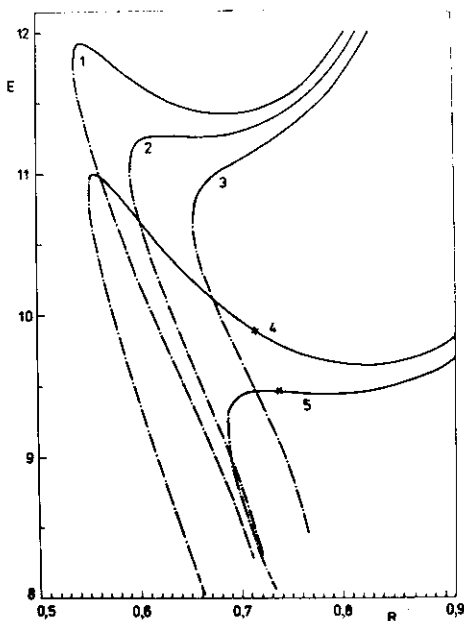
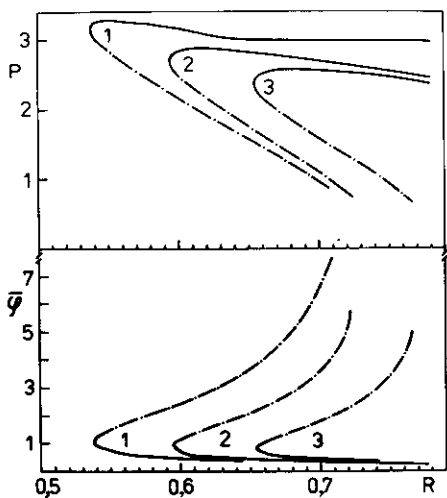
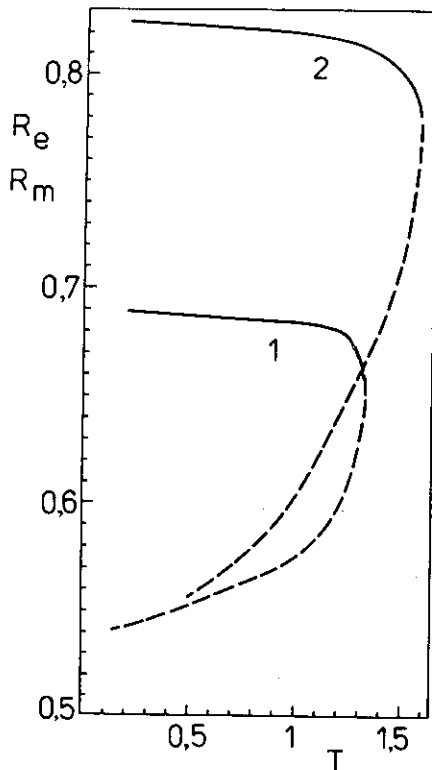


Рис. 5. Зависимость от R поля Φ и импульса кварков p для $V = 2$. Расчеты выполнены согласно (40)-(42). Кривая "1" получена при $T = 0,2$, "2" — $T = 1,2$, "3" — $T = 1,5$, как и на рис. 4.

Рис. 6. Зависимость от температуры радиуса мешка-нуклона R_e , т.е. положения минимума $E(R_e)$ (сплошные кривые) и положения максимума $E(R_m) - R_m$ (штрихованные кривые). Расчеты выполнены согласно (40)-(42). Кривая "1" получена при $V = 2$, "2" — $V = 1$.



в предыдущих примерах: сравним рис. 2 и рис. 4, 5. Для всех V рост $T \rightarrow T_c$ ведет к тому, что минимум $E(R_e)$ становится все "мельче" и сближается с максимумом $E(R_m)$; сближаются R_e и R_m (см. рис. 4). Прежними остаются и зависимости $\rho(R)$, $\bar{\phi}(R)$ (рис. 5). Сказанное выше о расчетах, представленных штрихпунктирными кривыми на рис. 2, относится, конечно, и к рис. 4, 5. Отметим, что в этом расчете (рис. 4), как и ранее (рис. 2), энергию E (28) можно сопоставлять массе нуклона лишь после учета ряда поправок к $E^{1/2}$, по крайней мере движения центра масс, что заметно, на $\approx 15 \div 20\%$, уменьшает $E(R_e)$. Учет изменения пионной моды в среде, т.е. $\Pi^a(\rho, T)$ в (40)-(42), ведет к заметному уменьшению T_c по сравнению с предыдущими расчетами: при $V = 1$ имеем $T_c = 1,575$, а при $V = 2$ — $T_c = 1,273$ (см. рис. 6). Рост T ведет, как и ранее, к незначительному уменьшению $R_e(T)$; зависимость $R_e(T)$ представлена на рис. 6. На этом же рисунке штрихованной кривой показана зависимость от T положения максимума $R_m(T)$. Из рис. 6 видно, как происходит слияние R_m и R_e при $T \rightarrow T_c$.

4. ЗАКЛЮЧЕНИЕ

Свойства нуклона в ядерном веществе меняются в зависимости от плотности ρ и температуры T . Зависимость от ρ подробно исследовалась в ^{2,3}, а от T — в данной работе. Оказалось возможным естественным образом обобщить СВМ для описания нуклона в ядерной среде при конечной температуре. Наши расчеты в СВМ внутренне согласованы: если при данных ρ , T уравнения СВМ (23)-(26) имеют совместное решение $R_e, \bar{\phi}_e, \rho_e$, то при этих $R_e, \bar{\phi}_e, \rho_e$ полная энергия E мешка имеет абсолютный минимум. При $T \geq T_c$ мешок-нуклон существовать не мо-

жет: энергия $E(R)$ не имеет минимума, нет совместного решения (23)-(26). Когда T растет, но остается меньше T_c , свойства мешка меняются несущественно, так, $R_e(T_c)$ всего на $\approx 5-7\%$ меньше $R_e(0)$. Аналогично этому в^{12/} было найдено, что нуклон мало меняется при увеличении плотности среды вплоть до $\rho = \rho_c$, а при $\rho > \rho_c$ существование мешканулона уже невозможно. При $T > T_c$ (или $\rho > \rho_c$) ядерное вещество уже не может состоять из трехкварковых мешков-нуклонов, следует ожидать появления иной, ненуклонной фазы. Разумеется, основываясь лишь на наших исследованиях, нельзя судить о свойствах этой новой фазы. Это может быть вещество, состоящее целиком из кварков (и глюонов) и не содержащее мешков. Но возможно и такое состояние, где вместо нуклонов (возможно, частично) существуют более сложные мешки, например, содержащие 6,9 и т.д. кварков^{12/}. В наших исследованиях критическая температура получилась сравнительно небольшой, $T_c \approx 1 \div 2$. Такая температура может получаться в столкновениях тяжелых ядер высокой энергии^{13/}, и можно надеяться достичь этого перехода в таких процессах.

ЛИТЕРАТУРА

1. Thomas A.W. — Adv. Nucl. Phys., 1984, 13, p.1.
2. Бунатян Г.Г. — ОИЯИ, P2-84-840, Дубна, 1984; ЯФ, 1986, т.43, с.294; ОИЯИ, P2-85-838, Дубна, 1985.
3. Бунатян Г.Г. — ОИЯИ, P2-87-777, Дубна, 1987.
4. Бунатян Г.Г. — ОИЯИ, P2-87-843, Дубна, 1987.
5. Бунатян Г.Г. — ОИЯИ, P2-87-850, Дубна, 1987.
6. Chodos A., Thorn C.B. — Phys. Rev., 1975, v.D12, p.2733.
7. Jaffe R.L. — Lectures at the 1979 Erice School, Ed. by A. Zichichi E.P. Geneva, 1979.
8. Бунатян Г.Г. — ЯФ, 1980, т.31, с.1186.
9. Бунатян Г.Г. — ЯФ, 1985, т.41, с.875.
10. Бунатян Г.Г., Мишустин И.Н. — ЯФ, 1982, т.36, с.1121.
11. Shifman M.A. et al — Nucl. Phys., 1979, v.B147, p.385, p.448, p.519; Вайнштейн А.И., Захаров В.И., Шифман М.А. — Письма в ЖЭТФ, 1978, т.27, с.60; Voloshin M.B. — Preprint ИТЕР-21, Moscow, 1980; Reinders L.J. et al. — Nucl. Phys., 1981, v.B186, p.109.
12. Chizhov A.V. et al. — Nucl. Phys., 1986, v.A449, p.660.
13. Тонеев В.Д. и др. — ЭЧАЯ, 1986, т.17, с.1093.

Рукопись поступила в издательский отдел
4 января 1989 года.